

UNIVERSIDADE DE SÃO PAULO  
INSTITUTO DE MATEMÁTICA E ESTATÍSTICA  
BACHARELADO EM MATEMÁTICA APLICADA E COMPUTACIONAL  
COM HABILITAÇÃO EM MÉTODOS MATEMÁTICOS

**Uma abordagem estocástica do Modelo de  
Lorenz 80**

Lucas Amaral Taylor

MONOGRAFIA FINAL  
MAP 2429 — TRABALHO DE  
FORMATURA EM MATEMÁTICA APLICADA

Supervisor: Prof. Dr. Breno Raphaldini Ferreira da Silva

São Paulo  
2025

*O conteúdo deste trabalho é publicado sob a licença CC BY 4.0  
(Creative Commons Attribution 4.0 International License)*

*Na verdade, na verdade vos digo que, se o  
grão de trigo, caindo na terra, não morrer,  
fica ele só; mas se morrer, dá muito fruto.*

*João 12:24*



[illegible]



## Resumo

Lucas Amaral Taylor. **Uma abordagem estocástica do Modelo de Lorenz 80**. Monografia (Bacharelado). Instituto de Matemática e Estatística, Universidade de São Paulo, São Paulo, 2025.

[illegible]

**Palavras-chave:** Palavra-chave1. Palavra-chave2. Palavra-chave3.





# Abstract

Lucas Amaral Taylor. **A stochastic approach for the Lorenz 80 model**. Capstone Project Report (Bachelor). Institute of Mathematics and Statistics, University of São Paulo, São Paulo, 2025.

[illegible]

**Keywords:** Keyword1. Keyword2. Keyword3.



## Lista de figuras

1.1 Diagrama do modelo de água-rasa adaptado . . . . .	5
--	---

## Lista de tabelas

## Lista de programas



# Sumário

<b>Introdução</b>	<b>1</b>
<b>1 O modelo de Lorenz 80 determinístico</b>	<b>3</b>
1.1 Introdução . . . . .	3
1.2 Breves considerações sobre geofísica . . . . .	3
1.2.1 Glossário . . . . .	3
1.2.2 O modelo de água rasa . . . . .	4
1.3 Motivação e apresentação do modelo . . . . .	4
1.4 Construção do modelo . . . . .	4
1.5 Propriedades . . . . .	7
1.6 Simulações . . . . .	7
1.6.1 Escolha de parâmetros . . . . .	7
1.6.2 Gráficos . . . . .	7
<b>Apêndices</b>	
<b>A Glossário de geofísica</b>	<b>9</b>
<b>Anexos</b>	
<b>Referências</b>	<b>11</b>
<b>Índice remissivo</b>	<b>13</b>



# Introdução

Lorem





# Capítulo 1

## O modelo de Lorenz 80 determinístico

### 1.1 Introdução

Este capítulo tem como objetivo apresentar o modelo determinístico Lorenz 80 (L80). Para isso, iniciamos, na seção 1.2, com uma introdução aos conceitos básicos de geofísica, buscando familiarizar o leitor com os fundamentos desta área. Na sequência, na seção 1.3, contextualizamos o modelo, abordando os trabalhos que o antecederam e as motivações que levaram à sua formulação.

A construção do modelo é detalhada na seção 1.4, seguida pela apresentação de suas principais propriedades e características na seção 1.5. Por fim, na seção 1.6, são exibidas simulações computacionais realizadas com o modelo, acompanhadas da análise gráfica dos resultados.

### 1.2 Breves considerações sobre geofísica

Nesta seção, reunimos um breve glossário com os principais conceitos de geofísica que servem de base para a compreensão do modelo de Lorenz 80 (L80). Como esse modelo se apoia no modelo de água rasa, também apresentaremos os fundamentos desse modelo.

#### 1.2.1 Glossário

Segue abaixo a definição de alguns conceitos de geofísica fundamentais para o modelo estudado:

- **Quasi-geostrófico.**
- **Parâmetro de Coriolis.**
- **Equilíbrio hidrostático.**

### 1.2.2 O modelo de água rasa

O modelo de água rasa

## 1.3 Motivação e apresentação do modelo

Edward Norton Lorenz (1917-2008) foi um importante matemático e meteorologista responsável pela publicação de vários artigos e desenvolvimento de modelos na área de previsão do tempo e outros fenômenos geofísicos. Dentre eles, o mais famoso foi o modelo Lorenz 63, conhecido popularmente pelo “efeito borboleta” que foi um marco de grande relevância para simulações matemáticas computacionais.

Em 1980, Lorenz publica o artigo intitulado “*Attractor Sets and Quasi-Geostrophic Equilibrium*” (LORENZ, 1980). Nele, Lorenz apresenta a construção e a simulação de dois modelos distintos: o primeiro, é formado a partir das equações primitivas (PE) com nove EDOs (equações diferenciais ordinárias), derivado das equações de águas rasas com topografia e forçamento, enquanto o segundo é um modelo quasi-geostrófico (QG) com 3 EDOs, obtido ao descartar as variáveis associadas ao escoamento divergente  $x$  e seus termos correspondentes. O modelo PE contém tanto ondas gravitacionais rápidas quanto oscilações quasi-geostróficas lentas, enquanto o modelo QG mantém apenas estas últimas, em um quadro simplificado para atmosfera de latitudes médias.

O artigo

## 1.4 Construção do modelo

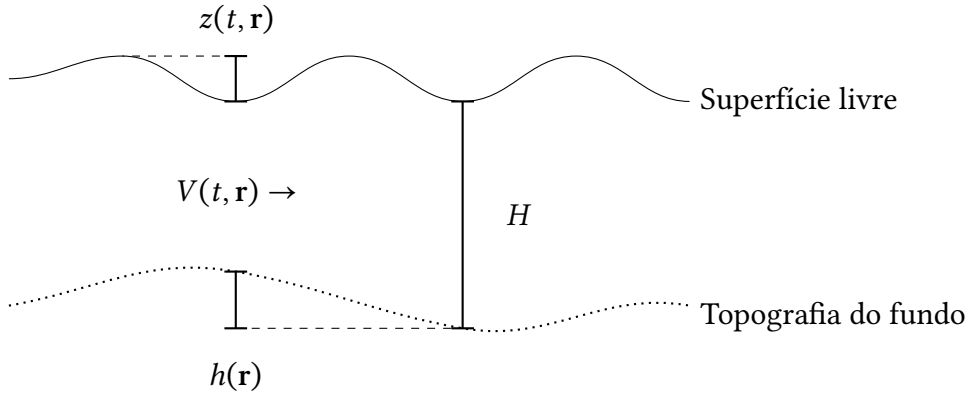
Como dito anteriormente, o modelo é construído a partir das equações de água-rasa com algumas particularidades descritas a seguir.

Consideremos um fluido homogêneo e incompressível, ou seja, com densidade constante em todo o volume e volume invariável mesmo sob variações de pressão. O escoamento é predominantemente horizontal, descrito por uma velocidade  $V(t, \mathbf{r})$  independente da altura, onde  $\mathbf{r}$  representa o vetor de posição inicial.

A componente vertical da velocidade é determinada pela continuidade de massa. A superfície livre do fluido está localizada na altura  $H + z(t, \mathbf{r})$ , onde  $H$  representa a profundidade média e a base se apoia sobre uma topografia variável  $h(\mathbf{r})$ . Temos também que  $h(\mathbf{r})$  e  $z(t, \mathbf{r})$  possuem média zero.

O sistema está sujeito à rotação planetária, com um parâmetro de Coriolis constante  $f$ . Tanto o campo de velocidades  $V$  quanto a elevação da superfície  $z$  sofrem dissipação difusiva, associada a movimentos de pequena escala: o termo  $\nu$  representa o coeficiente de difusão viscosa (dissipação de momento) e  $\kappa$  representa o coeficiente de difusão térmica. O modelo também inclui um termo de forçamento externo  $F(\mathbf{r})$  e, por fim, adota-se a hipótese de equilíbrio hidrostático.

A partir da descrição acima, podemos construir o seguinte diagrama:



**Figura 1.1:** Diagrama do modelo de água-rasa adaptado

Além disso, o modelo de água-rasa adaptado é expresso por:

$$\frac{\partial V}{\partial t} = -(V \cdot \nabla)V - f\mathbf{k} \times V - g\nabla z + \nu \nabla^2 V \quad (1.1)$$

$$\frac{\partial z}{\partial t} = -(V \cdot \nabla)(z - h) - (H + z - h)\nabla \cdot V + \kappa \nabla^2 z + F \quad (1.2)$$

Em seguida, aplicamos a *decomposição de Helmholtz* à equação (1.1), escrevendo

$$V = \nabla \chi + \mathbf{k} \times \nabla \psi,$$

onde  $\chi$  é o potencial de velocidade associado à parte divergente e  $\psi$  a função corrente associada à parte rotacional. Dessa forma,  $\nabla^2 \chi$  representa a divergência e  $\nabla^2 \psi$  a vorticidade. Substituindo essa decomposição obtemos:

$$\begin{aligned} \frac{\partial \nabla^2 \chi}{\partial t} = & -\frac{1}{2} \nabla^2 (\nabla \chi \cdot \nabla \chi) - \nabla \chi \cdot \nabla (\nabla^2 \psi) \times \mathbf{k} + \nabla^2 (\nabla \chi \cdot \nabla \psi \times \mathbf{k}) \\ & + \nabla \cdot (\nabla^2 \psi \nabla \psi) - \frac{1}{2} \nabla^2 (\nabla \psi \cdot \nabla \psi) + \nu \nabla^4 \chi + f \nabla^2 \psi - g \nabla^2 z, \end{aligned} \quad (1.3)$$

$$\frac{\partial \nabla^2 \psi}{\partial t} = -\nabla \cdot (\nabla^2 \psi \nabla \chi) - \nabla \psi \cdot \nabla (\nabla^2 \psi) \times \mathbf{k} - f \nabla^2 \chi + \nu \nabla^4 \psi. \quad (1.4)$$

Analogamente, aplicando (1.2), temos:

$$\frac{\partial z}{\partial t} = -\nabla \cdot [(z - h) \nabla \chi] - \nabla \psi \cdot \nabla (z - h) \times \mathbf{k} - H \nabla^2 \chi + \kappa \nabla^2 z + F. \quad (1.5)$$

Nosso objetivo é reduzir as equações (1.3)–(1.5) a um modelo de baixa ordem. Para isso, introduzimos três vetores adimensionais  $\alpha_1, \alpha_2, \alpha_3$  que satisfazem

$$\alpha_1 + \alpha_2 + \alpha_3 = 0,$$

e adotamos as permutações cíclicas

$$(i, j, k) = (1, 2, 3), (2, 3, 1), (3, 1, 2).$$

Definimos então:

$$a_i = \alpha_i \cdot \alpha_i, \quad b_i = \alpha_j \cdot \alpha_k, \quad c = (b_1 b_2 + b_2 b_3 + b_3 b_1)^{1/2}.$$

Lorenz também apresenta uma forma alternativa, equivalente, mais conveniente para a implementação computacional:

$$b_i = \frac{1}{2}(a_i - a_j - a_k), \quad c_i = c.$$

Escolhido um comprimento característico  $L$ , construímos três funções ortogonais:

$$\phi_i(\mathbf{r}) = \cos\left(\alpha_i \cdot \frac{\mathbf{r}}{L}\right),$$

para as quais valem, por exemplo:

$$\begin{aligned} L^2 \nabla^2 \phi_i &= -a_i \phi_i, \\ L^2 \nabla \phi_i \cdot \nabla \phi_k &= -\frac{1}{2} b_{ik} \phi_i + \dots, \\ L^2 \nabla \cdot (\phi_j \nabla \phi_k) &= \frac{1}{2} b_{jk} \phi_i + \dots, \\ L^2 \phi_j \cdot \nabla \phi_k \times \mathbf{k} &= -\frac{1}{2} c_{jk} \phi_i + \dots, \end{aligned}$$

onde os termos omitidos são múltiplos de cossenos. Com essas funções, expandimos as variáveis em série e introduzimos escalas adimensionais:

$$\begin{aligned} t &= f^{-1} \tau, \\ \chi &= 2L^2 f^2 \sum_i x_i \phi_i, \\ \psi &= 2L^2 f^2 \sum_i y_i \phi_i, \\ z &= 2L^2 f^2 g^{-1} \sum_i z_i \phi_i, \\ h &= 2L^2 f^2 g^{-1} \sum_i h_i \phi_i, \\ F &= 2L^2 f^2 g^{-1} \sum_i F_i \phi_i. \end{aligned}$$

Substituindo as equações acima em (1.3)–(1.5), e projetando sobre a base  $\{\phi_i\}$ , obtemos finalmente o modelo PE de baixa ordem, composto de nove equações diferenciais ordinárias:

$$a_i \frac{dx_i}{d\tau} = a_i b_i x_i x_k - c(a_i - a_k) x_i y_k + c(a_i - a_j) y_i x_k - 2c^2 y_i y_k - v_0 a_i^2 x_i + a_i y_i - a_i z_i, \quad (1.6)$$

$$a_i \frac{dy_i}{d\tau} = -a_i b_k x_i y_k - a_i b_i y_i x_k + c(a_k - a_i) y_i y_k - a_i x_i - v_0 a_i^2 y_i, \quad (1.7)$$

$$\frac{dz_i}{d\tau} = -b_k x_i (z_k - h_k) - b_i (z_i - h_i) x_k + c y_i (z_k - h_k) - c(z_i - h_i) y_k + g_0 a_i x_i - \kappa_0 a_i z_i + F_i. \quad (1.8)$$

Na construção do modelo QG, começamos desprezando todos os termos não lineares, assim como aqueles que envolvem as variáveis  $x$ , incluindo a derivada temporal, na equação (1.6). Fazemos o mesmo com os termos não lineares ou topográficos que dependem de  $x$  nas equações (1.7) e (1.8). Por fim, eliminamos as variáveis  $x$  e  $z$ , obtendo ao modelo QG apresentado a seguir:

$$(a_i g_0 + 1) \frac{dy_i}{d\tau} = g_0 c(a_k - a_j) y_j y_k - a_i (a_i g_0 v_0 + \kappa_0) y_i - ch_k y_j + ch_j y_k + F_i, \quad (1.9)$$

## 1.5 Propriedades

## 1.6 Simulações

### 1.6.1 Escolha de parâmetros

### 1.6.2 Gráficos



# Apêndice A

## Glossário de geofísica

- Quasi-geostrófico.
- Parâmetro de Coriolis.
- Equilíbrio hidrostático.





## Referências

- [LORENZ 1980] Edward N. LORENZ. “Attractor sets and quasi-geostrophic equilibrium”. *Journal of the Atmospheric Sciences* 37.8 (ago. de 1980), pp. 1685–1699. ISSN: 1520-0469. DOI: [10.1175/1520-0469\(1980\)037<1685:asaqge>2.0.co;2](https://doi.org/10.1175/1520-0469(1980)037<1685:asaqge>2.0.co;2) (citado na pg. 4).



# Índice remissivo

Captions, *veja* Legendas

Código-fonte, *veja* Floats

Equações, *veja* Modo matemático

Figuras, *veja* Floats

Floats

    Algoritmo, *veja* Floats, ordem

Fórmulas, *veja* Modo matemático

Inglês, *veja* Língua estrangeira

Palavras estrangeiras, *veja* Língua es-  
trangeira

Rodapé, notas, *veja* Notas de rodapé

Subcaptions, *veja* Subfiguras

Sublegendas, *veja* Subfiguras

Tabelas, *veja* Floats

Versão corrigida, *veja* Tese/Dissertação,  
versões

Versão original, *veja* Tese/Dissertação,  
versões